

9.- ANEJOS.

9.1.- Galería de imágenes.

Identificación de especies de pulgón:



Figura 1: Individuos ápteros de *Brachycaudus schwartzi*.



Figura 2: Individuos ápteros de *Myzus persicae*.



Figura 3: Individuo áptero de *Aphis craccivora*.



Figura 4: Individuos ápteros de *Aphis punicae*.



Figura 5: Individuos ápteros de *Aphis spiraeicola*.



Figura 6: Individuos ápteros y alado de *Macrosiphum euphorbiae*.

Diseño de plantas *banker* de trigo:



Figura 7: Siembra de trigo de la variedad Fartó.



Figura 8: Crecimiento inicial del trigo dentro de la cámara de cría.



Figura 9: Inoculación de pulgón en trigo.



Figura 10: Crecimiento del pulgón *Rhopalosiphum padi* en trigo dentro de la cámara de cría después de ser inoculado.



Figura 11: Colocación de la agrupación de plantas *banker* de trigo en el lugar del ensayo.

Diseño de plantas *banker* de adelfa:



Figura 12: Bandeja de alveolos de esquejes de adelfa para la realización de plantas *banker*.



Figura 13: Trasplante de adelfas a contenedores de C-11.



Figura 14: Crecimiento de adelfas para su posterior inoculación.



Figura 15: Crecimiento poblacional del pulgón *Aphis nerii* en adelfa dentro de la cámara de cría después de la inoculación.



Figura 16: Colocación de la agrupación de plantas banker de adelfa en el lugar del ensayo

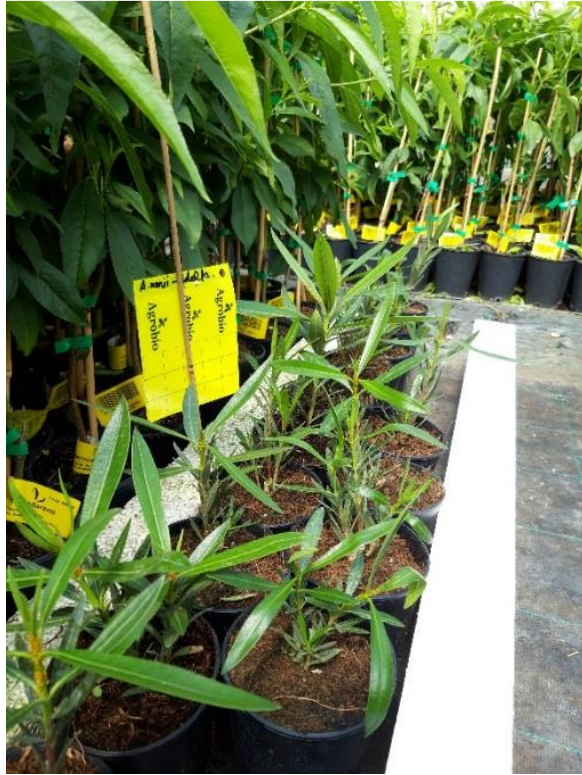


Figura 17: Detalle de la agrupación de plantas *banker* de adelfa.

Diseño de la cámara de cría:



Figura 18: Estructura de palets de la cámara de cría.



Figura 19: Colocación de malla anti-trips y bandejas de cultivo.



Figura 20: Cámara de cría en el lugar del ensayo.

Muestreo e identificación de organismos de control:



Figura 21: Enrollamiento de las hojas de melocotonero provocado por el pulgón *Brachycaudus schwartzi*.



Figura 22: Brotes de melocotonero afectados por el pulgón *Brachycaudus schwartzi*.



Figura 23: Colocación de brotes de melocotonero afectados por pulgón en el evolucionario de elaboración propia.

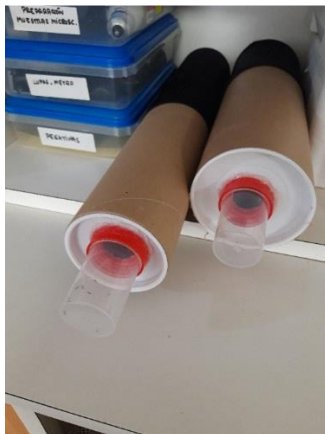


Figura 24: Evolución de brotes afectados por pulgón.



Figura 25: Sírfidos como resultados de la evolución de un brote de melocotonero afectado por pulgón.



Figura 26: Identificación de organismos de control en el laboratorio del departamento técnico de Viveros Hermandorena.



Figura 27: Parasitoide *Aphidius matricariae*.



Figura 28: Parasitoide *Aphidius matricariae* con alas extendidas.



Figura 29: Parasitoide *Aphidius rhopalosiphi*.



Figura 30: Parasitoide *Lysiphlebus testaceipes*.



Figura 31: Individuos machos y hembras de *Aphidoletes aphidimyza*.



Figura 32: Colonia de pulgón *Rhopalosiphum padi* atacada por parasitoides y el depredador *Aphidoletes aphidimyza*.



Figura 33: Huevos de *Chrysopa spp.* sobre una colonia de *Aphis nerii* en adelfa.



Figura 34: Larva de *Chrysopa spp.* sobre una colonia de *Aphis nerii* en adelfa.



Figura 35: *Chrysopa spp.* sobre una hoja de melocotonero.



Figura 36: Huevo de sífido sobre hoja de adelfa cercana a una colonia de *Aphis nerii*.



Figura 37: Larva de sífido junto a una colonia de *Aphis nerii* en adelfa.



Figura 38: Pupas de sífido sobre hojas de adelfa (La pupa que tiene un aspecto marrón-bronce, está parasitada por el parásito *Diplazon spp.*).



Figura 39: Sífido adulto de la especie *Eupeodes corolae* sobre una hoja de melocotonero.



Figura 40: Sífido adulto de la especie *Sphaeroporia ruppelii* sobre una hoja de trigo.



Figura 41: *Coccinella septempunctata* sobre hoja de adelfa.



Figura 42: *Hyppodamia variegata* devorando un pulgón de la especie *Hyalopterus amygdali* sobre hoja de patrón GF-677.



Figura 43: Larva de *Scymnus spp.* devorando pulgón de la especie *Aphis nerii* sobre hoja de adelfa.



Figura 44: Adulto de *Scymnus spp.* devorando pulgón de la especie *Aphis nerii* sobre un brote de adelfa.